

I-143 5径間連続曲線析の実験的研究

北海道大学工学部 工博 正員 今 梅三
 " " 工博 正員 渡辺 星
 " " 工博 正員 横山 知郎
 " " 正員 喬原 雄

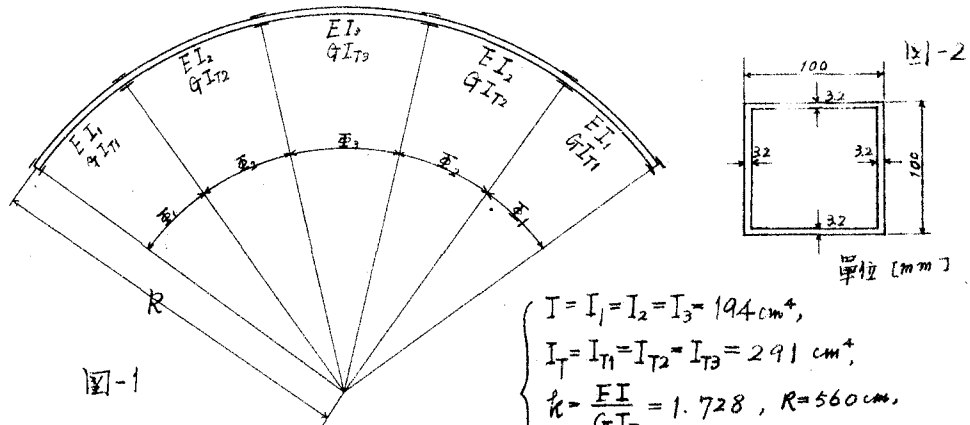


図-1

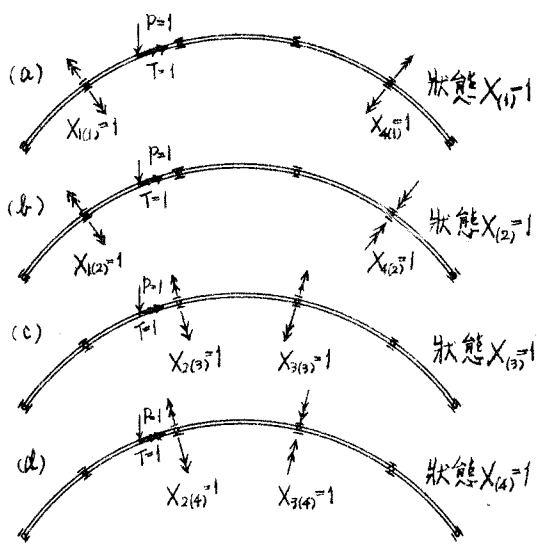


図-3

ここで、 $d_{(m)(n)}$ は状態 $X_{(m)}=1$ × 状態 $X_{(n)}=1$ の間の柔軟性率であり、 $f_{(m)0}$ は状態 $X_{(m)}=1$ における柔軟性図、 $Q_{(m)0}$ は状態 $X_{(m)}=1$ 下における荷重断面である。

$$\left. \begin{aligned} d_{(11)}X_{(1)} + d_{(13)}X_{(3)} &= -(Pf_{(1)0} + TA_{(1)0}) \\ d_{(31)}X_{(1)} + d_{(33)}X_{(3)} &= -(Pf_{(3)0} + TA_{(3)0}) \\ d_{(22)}X_{(2)} + d_{(24)}X_{(4)} &= -(Pf_{(2)0} + TA_{(2)0}) \\ d_{(42)}X_{(2)} + d_{(44)}X_{(4)} &= -(Pf_{(4)0} + TA_{(4)0}) \end{aligned} \right\} \quad (1)$$

垂直力 $P=1$ が働く場合の不繩足組モーメントの影響線, X_{Pm}'' は、式(1)の右辺において、 $P=1$, $T=0$ とおいたものと呼ばれる。振りモーメント $T=0$ が働く場合の不繩足組モーメントの影響線, X_{Tm}'' は、式(1)の右辺において、 $P=0$, $T=1$ とおいたものと呼ばれる。左端間連続曲線群の位置偏差の断面力(または変形)の影響線, S_x'' は次式で求められる。

$$(1) P=1 \text{ が働く場合: } S_x'' = S_{px}'' + S_{x(1)}X_{pm}'' + S_{x(2)}X_{p(2)}'' + S_{x(3)}X_{p(3)}'' + S_{x(4)}X_{p(4)}'' \quad (2)$$

$$(2) T=1 \text{ が働く場合: } S_x'' = S_{Tx}'' + S_{x(1)}X_{Tm}'' + S_{x(2)}X_{T(2)}'' + S_{x(3)}X_{T(3)}'' + S_{x(4)}X_{T(4)}'' \quad (3)$$

ここで、 S_{px}'' は $P=1$ が働く場合の基本系の点火下における断面力(または変形)の影響線であり、

S_{px}'' 及び $T=1$ が働く場合の基本系の点火下における断面力(または変形)の影響線であり、 S_{xcm} は状態 $X_{cm}=1$ における基本系の点火下における断面力値(または変形値)である。

以上の理論とともに、左端間連続曲線群について、各支間半分割点毎の影響線係数を計算するための重複計算用プログラムを作成した。これによって、電子計算機結果を表示すれば、次のとおりである。

- (1) $P=1$ が働く場合の曲げモーメント影響線, M_P'' (図-4)
- (2) $P=1$ が働く場合の振りモーメント影響線, T_P'' (図-5)
- (3) $P=1$ が働く場合の無拘束性影響線, f_P'' (図-6)
- (4) $P=1$ が働く場合の振り曲げ影響線, θ_P'' (図-7)
- (5) $T=1$ が働く場合の曲げモーメント影響線, M_T'' (図-8)
- (6) $T=1$ が働く場合の振りモーメント影響線, T_T'' (図-9)
- (7) $T=1$ が働く場合の無拘束性影響線, f_T'' (図-10)
- (8) $T=1$ が働く場合の振り曲げ影響線, θ_T'' (図-11)

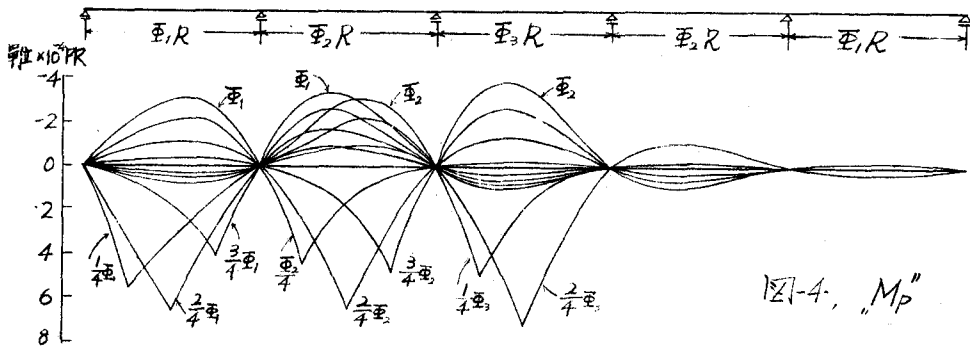


図-4, M_P''

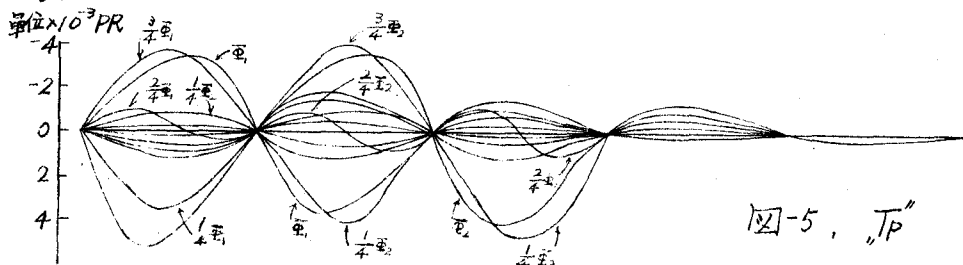


図-5, T_P''

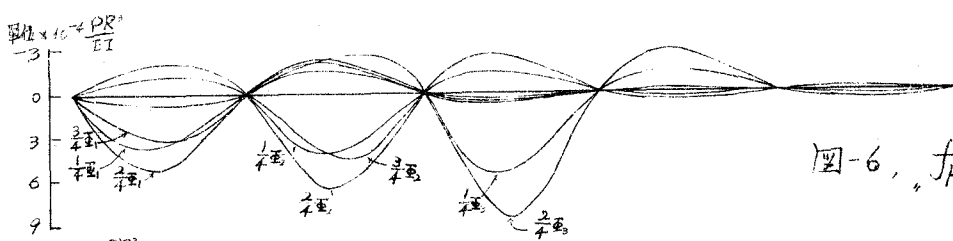


図-6, f_p''

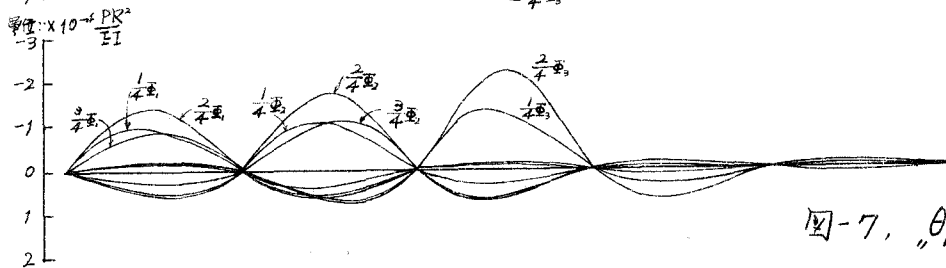


図-7, θ_p''

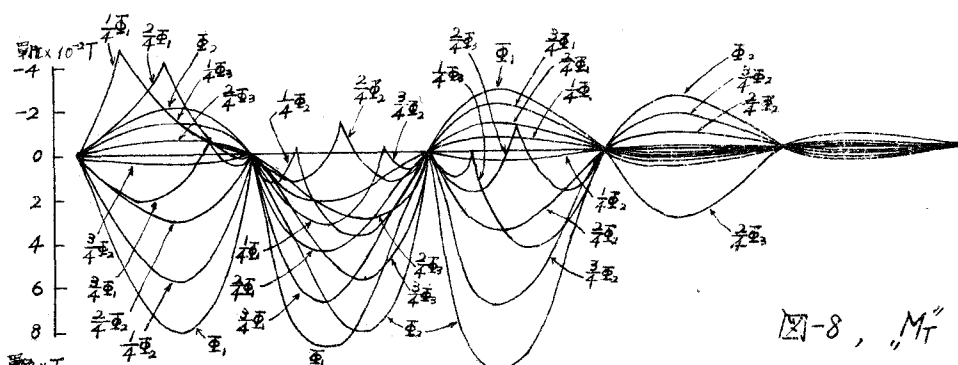


図-8, M_T''

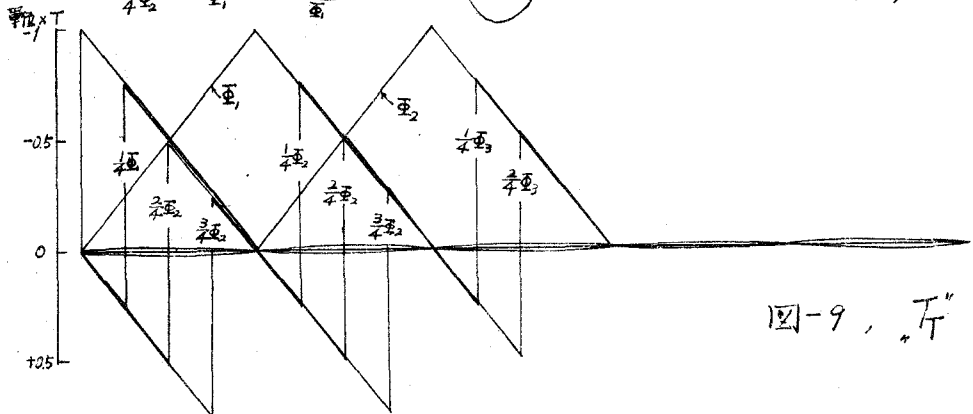


図-9, T''

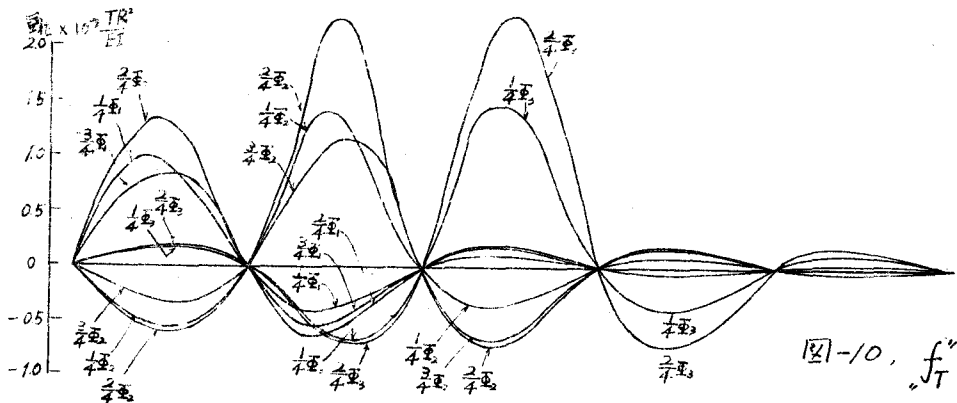


図-10, f_T''

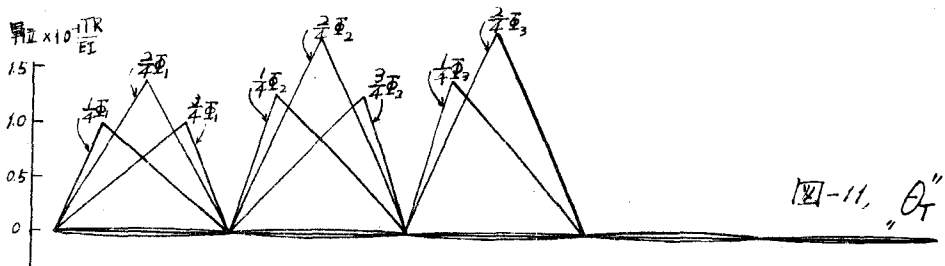


図-11, θ_T''

いま、例えば、図-12のようだ、燕 $\frac{E_2}{2}$ $K_P = 600 \text{kg}$ を載荷させた場合の曲げモーメント図の理論値と実験値とを比較してみると、非常によく合致している。また、図-13のようだ、燕 $\frac{E_2}{2}$ $K_P = 600 \text{kg}$ を載荷させた場合の垂直変位図の理論値と実験値とを比較してみると、非常によく合致している。実験では、載荷点を 15 回繰り返して実施したが、いずれも、図-12や図-13のようだ、理論値と実験値とがよく合致しており、理論解析の正しさが証明された。

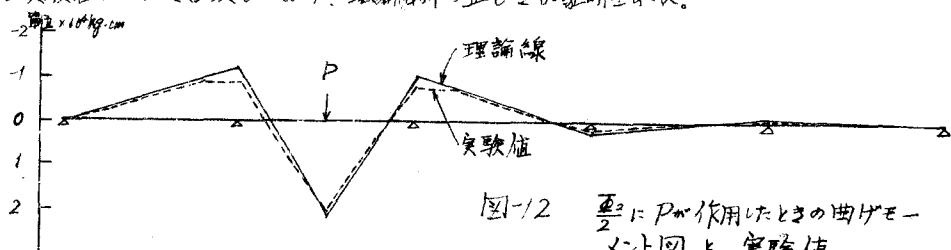


図-12 $\frac{E_2}{2}$ に P が作用したときの曲げモーメント図と実験値

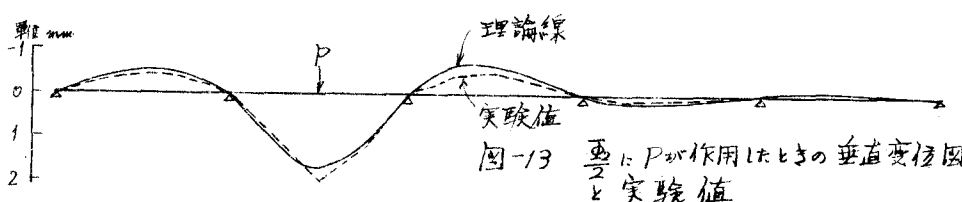


図-13 $\frac{E_2}{2}$ に P が作用したときの垂直変位図と実験値

一般に、前記のように各層が断面では 曲げ剛性 E_Cm を取扱ひ無視して、曲げ剛性 E_1 および横の剛性 G_{11} のみによる曲げ解析の力学理論を確立しておけば十分であろう。